

Проект по курсу  
«Эвристические методы планирования»

Алгоритмы поиска с бикритериальной  
ОПТИМИЗАЦИЕЙ

<https://github.com/ugadiarov-la-phystech-edu/hs-project>

Угадяров Л.А.

МФТИ, группа М05-006а

11 мая 2021 г.

## 1 Задачи многокритериальной оптимизации

Многокритериальная оптимизация заключается в поиске множества оптимальных решений с учётом нескольких неоднородных критериев, которые невозможно свести друг к другу.

Практические приложения:

- Прокладка телекоммуникационных сетей: минимизация стоимости и вероятность отказа
- Планирование в робототехнике: минимизация длины пути и потребления энергии
- Езда на велосипеде: минимизация длины пути и максимизация безопасности велосипедиста
- Грузоперевозки: минимизация стоимости транспортировки, минимизация времени в пути, учёт экологических факторов
- Перевозки опасных грузов: минимизация длины пути, минимизация риска человеческих жертв при возможной аварии
- Пассажирские перевозки: минимизация стоимости проезда, времени в пути, количества пересадок
- Планирование спутниковой фотосъёмки: удовлетворение максимального количества запросов пользователей с учётом приоритета запросов, минимизация износа оборудования

## 2 Математическая постановка бикритериальной задачи

**Определение.** Пусть  $\mathfrak{p} = (p_1, p_2)$  и  $\mathfrak{q} = (q_1, q_2)$  — пары вещественных чисел, тогда:

- $\mathfrak{p} \prec \mathfrak{q}$  ( $\mathfrak{p}$  доминирует  $\mathfrak{q}$ ), если  $(p_1 < q_1) \wedge (p_2 \leq q_2)$  или  $(p_1 = q_1) \wedge (p_2 < q_2)$
- $\mathfrak{p} \leq \mathfrak{q}$  ( $\mathfrak{p}$  слабо доминирует  $\mathfrak{q}$ ), если  $(p_1 \leq q_1) \wedge (p_2 \leq q_2)$

**Определение.** Бикритериальная задача поиска маршрутов с наименьшей стоимостью  $\mathcal{U} = (S, E, \mathfrak{h}, \mathfrak{c}, s_{start}, s_{goal})$ , где:

- $S$  — конечное множество состояний
- $E \subseteq S \times S$  — множество рёбер
- $\mathfrak{c} : E \rightarrow \mathbb{R}^+ \times \mathbb{R}^+$  — функция стоимости,  $\mathfrak{c}(e) = (c_1(e), c_2(e))$
- $\mathfrak{h} : S \rightarrow \mathbb{R}^+ \times \mathbb{R}^+$  — эвристическая функция,  $\mathfrak{h}(s) = (h_1(s), h_2(s))$
- $s_{start}$  — начальное состояние
- $s_{goal}$  — целевое состояние

**Определение.**  $\pi(s_1, s_n) = s_1, \dots, s_n$  — маршрут из  $s_1$  в  $s_n$ , где  $\{s_i\} \subseteq S$  и  $\{(s_i, s_{i+1})\} \subseteq E$ .

**Определение.**  $\mathfrak{c}(\pi) = \sum_{i=1}^{n-1} \mathfrak{c}(s_i, s_{i+1})$  — стоимость маршрута  $\pi$ .

**Определение.** Маршрут  $\pi(s_1, s_n)$  доминирует маршрут  $\pi'(s_1, s_n) : \pi \prec \pi' \Leftrightarrow \mathfrak{c}(\pi) \prec \mathfrak{c}(\pi')$ .

**Определение.** Маршрут  $\pi(s_{start}, s_{goal})$  называется парето-оптимальным решением задачи  $\mathcal{U} \Leftrightarrow \nexists \pi'(s_{start}, s_{goal}) : \pi' \prec \pi$ .

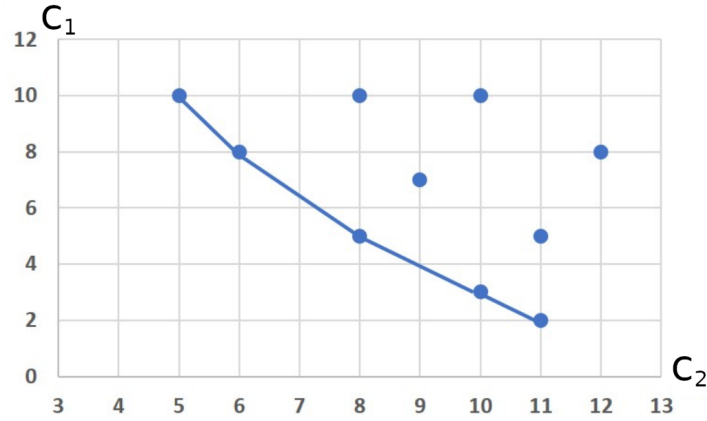
**Определение.** Решением задачи  $\mathcal{U}$  называется множества всех парето-оптимальных решений с уникальной стоимостью.

**Замечание.** Рассматриваются монотонные эвристические функции:  $\mathfrak{h}(s_{goal}) = (0, 0)$  и  $\forall (s, t) \in E \quad \mathfrak{h}(s) \leq \mathfrak{c}(s, t) + \mathfrak{h}(t)$ .

Отношение доминирования задаёт частичный порядок на множестве пар, т.е. не все пары сравнимы друг с другом. Таким образом множество парето-оптимальных решений можно рассматривать как множество всех решений, которые являются лучшими среди тех, с которыми их можно сравнить. Пример парето-оптимального множества представлен на рисунке 1.

## 3 Общий подход к решению бикритериальной задачи

Адаптация алгоритма  $A^*$  для решения бикритериальной задачи.  
Изменения в списке *OPEN* узлов — кандидатов на раскрытие:



$$(10, 5) \prec (10, 8), (10, 5) \not\prec (8, 6)$$

Рис. 1: Пример парето-оптимального множества. Оптимальное решение  $(10, 5)$  доминирует неоптимальное решение  $(10, 8)$ . Оптимальные решения  $(10, 5)$  и  $(8, 6)$  не доминируют друг друга.

- $OPEN$  содержит нераскрытые узлы — кортежи  $x = (s, g, f)$ , где  $g$  и  $f$  — векторы
- Для состояния  $s$  в  $OPEN$  одновременно могут находиться несколько узлов  $(s, g_1, f_1)$  и  $(s, g_2, f_2)$

Выбор узла из  $OPEN$ :

- Для раскрытия выбирается такой узел  $(s, g, f) \in OPEN$ , что  $\nexists (s', g', f') \in OPEN : f' \prec f$   
Для бикритериальной задачи это условие эквивалентно извлечению узла с лексикографически минимальным значением  $f$

Обработка узлов вида  $(s_{goal}, g, f)$ :

- Поддерживается множество найденных решений:  $SOL = \{\pi_i(s_{start}, s_{goal})\}$
- Если для найденного маршрута  $\pi(s_{start}, s_{goal}) \Rightarrow \nexists \pi' \in SOL : \pi' \prec \pi$ , то удаляем из  $SOL$  все маршруты  $\tilde{\pi} : \pi \prec \tilde{\pi}$  и добавляем  $\pi$  в  $SOL$

Раскрытие узла  $(s, g, f)$ :

- Для каждого дочернего состояния  $s' \in Succ(s)$  строится узел  $(s', g', f')$
- Дочерний узел  $(s', g', f')$  добавляется в  $OPEN$  при одновременном выполнении двух условий:

- $\nexists (s', \tilde{g}, \tilde{f}) \in OPEN : \tilde{f} \prec f'$
- $\nexists \pi \in SOL : c(\pi) \prec f'$
- Если  $(s', g', f')$  добавляется в  $OPEN$ , то из  $OPEN$  удаляются все узлы  $(s', \tilde{g}, \tilde{f}) : f' \prec \tilde{f}$

Если  $OPEN$  пустой, то алгоритм завершает работу и возвращает  $SOL$ .

Следует отметить, что общий подход совершает большое количества проверок доминирования, что сказывается на производительности.

## 4 Алгоритмы бикритериальной оптимизацией

Проект основан на работе [1], в которой описаны алгоритмы NAMOA\*, NAMOA\*dr, BOA\*, выполняющие бикритериальный поиск. Псевдокод алгоритма NAMOA\* представлен на рисунке 2. Псевдокод алгоритма BOA\* представлен на рисунке 3. Ниже описаны основные особенности алгоритмов.

Алгоритм NAMOA\*:

- Реализация общего подхода с незначительными оптимизациями за счёт поддержки множества всех раскрытых узлов  $G_{cl}(s)$

Алгоритм NAMOA\*dr

- Оптимизация операции добавления дочернего узла в  $OPEN$  для случая монотонной эвристической функции и извлечения узлов из  $OPEN$  в лексикографическом порядке по  $f$ :
  - Проверка  $\nexists \pi \in SOL : c(\pi) \prec (f'_1, f'_2)$  заменяется на  $\min_{\pi \in SOL} c_2(\pi) \geq f'_2$
  - В некоторых случаях проверку  $\nexists (s', \tilde{g}, \tilde{f}) \in OPEN : \tilde{f} \prec f'$  можно заменить на  $\min_{\tilde{f} \in OPEN} \tilde{f}_2 \geq f'_2$

Алгоритм BOA\*:

- Для случая монотонной эвристической функции и извлечения узлов из  $OPEN$  в лексикографическом порядке по  $f$  авторами работы доказаны ещё более сильные утверждения, которые позволяют все проверки доминирования совершать за константное время за счёт поддержки  $g_2^{min}(s)$  — минимального значения  $g_2$  для раскрытых узлов с состоянием  $s$
- В узлах дополнительно хранятся ссылки на родительские узлы:  $x = (s, g, f, parent(x))$

---

**Algorithm 1:** NAMOA\*

---

**Input** : A search problem  $(S, E, c, s_{start}, s_{goal})$  and a consistent heuristic function  $h$

**Output:** The Pareto-optimal solution set

```
1  $sols \leftarrow \emptyset$ 
2 for each  $s \in S$  do
3    $G_{op}(s) \leftarrow \emptyset; G_{cl}(s) \leftarrow \emptyset$ 
4    $G_{op}(s) \leftarrow \{(0, 0)\}$ 
5    $parent((0, 0)) \leftarrow \emptyset$ 
6   Initialize  $Open$  and add  $(s_{start}, (0, 0), h(s_{start}))$  to it
7   while  $Open \neq \emptyset$  do
8     Remove a node  $(s, g_s, f_s)$  from  $Open$  with the
       lexicographically smallest  $f$ -value of all nodes in
        $Open$ 
9     Remove  $g_s$  from  $G_{op}(s)$  and add it to  $G_{cl}(s)$ 
10    if  $s = s_{goal}$  then
11      Add  $g_s$  to  $sols$ 
12      Remove all nodes  $(u, g_u, f_u)$  with  $f_s \prec f_u$  from
        $Open$ 
13      continue
14    for each  $t \in Succ(s)$  do
15       $g_t \leftarrow g_s + c(s, t)$ 
16      if  $g_t \in G_{op}(t) \cup G_{cl}(t)$  then
17        Add  $g_s$  to  $parent(g_t)$ 
18        continue
19      if  $G_{op}(t) \cup G_{cl}(t) \prec g_t$  then
20        continue
21       $f_t \leftarrow g_t + h(t)$ 
22      if  $sols \prec f_t$  then
23        continue
24      Remove all  $g$ -values  $g'_t$  from  $G_{op}(t)$  that are
       dominated by  $g_t$  and remove their
       corresponding nodes  $(t, g'_t, f'_t)$  from  $Open$ 
25      Remove all  $g$ -values from  $G_{cl}(t)$  that are
       dominated by  $g_t$ 
26       $parent(g_t) \leftarrow \{g_s\}$ 
27      Add  $g_t$  to  $G_{op}(t)$ 
28      Add  $(t, g_t, f_t)$  to  $Open$ 
29 return  $sols$ 
```

---

Рис. 2: Псевдокод алгоритма NAMOA\*

Авторы работы [1] сравнили производительность BOA\* с другими алгоритмами на дорожных картах городов США соревнования 9th DIMACS Implementation Challenge - Shortest Paths (<http://www.diag.uniroma1.it/challenge9/download.shtml>). В качестве критериев используется длина марш-

---

**Algorithm** : Bi-Objective A\* (BOA\*)

---

**Input** : A search problem  $(S, E, c, s_{start}, s_{goal})$  and a consistent heuristic function  $h$

**Output**: A cost-unique Pareto-optimal solution set

```

1  $sols \leftarrow \emptyset$ 
2 for each  $s \in S$  do
3    $g_2^{\min}(s) \leftarrow \infty$ 
4  $x \leftarrow$  new node with  $s(x) = s_{start}$ 
5  $g(x) \leftarrow (0, 0)$ 
6  $parent(x) \leftarrow \text{null}$ 
7  $f(x) \leftarrow (h_1(s_{start}), h_2(s_{start}))$ 
8 Initialize Open and add  $x$  to it
9 while  $Open \neq \emptyset$  do
10   Remove a node  $x$  from Open with the
       lexicographically smallest  $f$ -value of all nodes in
       Open
11   if  $g_2(x) \geq g_2^{\min}(s(x)) \vee f_2(x) \geq g_2^{\min}(s_{goal})$  then
12     continue
13    $g_2^{\min}(s(x)) \leftarrow g_2(x)$ 
14   if  $s(x) = s_{goal}$  then
15     Add  $x$  to sols
16     continue
17   for each  $t \in \text{Succ}(s(x))$  do
18      $y \leftarrow$  new node with  $s(y) = t$ 
19      $g(y) \leftarrow g(x) + c(s(x), t)$ 
20      $parent(y) \leftarrow x$ 
21      $f(y) \leftarrow g(y) + h(t)$ 
22     if  $g_2(y) \geq g_2^{\min}(t) \vee f_2(y) \geq g_2^{\min}(s_{goal})$  then
23       continue
24     Add  $y$  to Open
25 return sols

```

---

Рис. 3: Псевдокод алгоритма BOA\*

рута и время движения по маршруту:

- NAMOA\*, NAMOA\*dr, BOA\* — авторские реализации (язык Си)
- sBOA\* — модификация BOA\* без применения оптимизаций, приводящих к константному времени проверки условий доминирования, авторская реализация (язык Си)
- Оригинальные реализации на Си для Bi-Objective Dijkstra (BDijkstra) и Bidirectional Bi-Objective Dijkstra (BBDijkstra) предоставлены авторами этих алгоритмов

Некоторые результаты работы алгоритмов представлены на рисунке 4.

New York City (NY)				
264,346 states, 730,100 edges, $ sols  = 199$ on average				
	Solved	Average	Max	Min
NAMOA*	50/50	157.17	1,936.36	<b>0.02</b>
sBOA*	50/50	9.75	148.65	0.10
NAMOA*dr	50/50	0.65	4.99	0.11
BOA*	50/50	<b>0.32</b>	<b>1.95</b>	0.11
BBDijkstra	50/50	1.94	23.43	0.26
BDijkstra	50/50	2.55	21.16	0.17

San Francisco Bay (BAY)				
321,270 states, 794,830 edges, $ sols  = 119$ on average				
	Solved	Average	Max	Min
NAMOA*	50/50	58.87	1,474.76	<b>0.02</b>
sBOA*	50/50	3.38	120.57	0.12
NAMOA*dr	50/50	0.38	6.08	0.12
BOA*	50/50	<b>0.29</b>	<b>4.17</b>	0.12
BBDijkstra	50/50	0.87	9.61	0.28
BDijkstra	50/50	1.83	33.39	0.22

Рис. 4: Сравнение алгоритмов бикритериальной оптимизации на дорожных картах городов США из 9th DIMACS Implementation Challenge для 50 случайно выбранных пар начальная вершина - целевая вершина. Average, Max, Min – время выполнения алгоритма в секундах

## 5 Собственная реализация алгоритмов NAMOA\* и BOA\*

В рамках проекта были реализованы алгоритмы BOA\*, NAMOA\*.  
 Репозиторий проекта с тетрадкой Jupyter Notebook и всеми необходимыми данными: <https://github.com/ugadiarov-la-phystech-edu/hs-project>.  
 Используемый язык программирования: Python 3.6.  
 Задействованные библиотеки:

- NetworkX, версия 2.5
- Numpy, версия 1.19.2
- Pandas, версия 1.0.5
- Matplotlib, версия 3.2.2
- tqdm, версия 4.47.0

Используемые данные:

- Граф расстояний и граф времени в пути для New York City из 9th DIMACS Implementation Challenge:  
<http://www.diag.uniroma1.it/challenge9/download.shtml>
- Карта duskwood из Moving AI Lab:  
<https://movingai.com/benchmarks/wc3maps512/index.html>

Особенности реализации NAMOA\*:

- Класс `OpenNAMOA` представляет список узлов - кандидатов на раскрытие - для алгоритма NAMOA\*. Список реализован с помощью кучи и предоставляет интерфейс для эффективного извлечения лексикографически минимального по  $f$ -значению узла. Удаление других элементов из списка происходит ленивым способом: удаляемый элемент помечается как удалённый, а фактическое удаление происходит только при извлечении элемента с вершины кучи
- Функция `namoa` реализует алгоритм NAMOA\*. Принимает на вход граф `graph` — экземпляр класса `networkx.classes.graph.Graph`, `start` — стартовая вершина, `goal` — целевая вершина, `weights` — пара названий атрибутов ребра, которые используются в качестве весов. Функция возвращает словарь с элементами: `solutions` — парето-оптимальное множество весов кратчайших путей из `start` в `goal`, `parent` — множество родительских вершин, `n_expansions` — количество совершённых раскрытий вершин при выполнении алгоритма, `runtime` — время выполнения в секундах, `max_size_invalid` максимальный размер списка `OpenNAMOA` с учётом помеченных «удалённых» вершин, `max_size` максимальный размер списка `OpenNAMOA` без учёта помеченных «удалённых» вершин.

Особенности реализации BOA\*:

- Класс `OpenBOA` представляет список узлов - кандидатов на раскрытие - для алгоритма BOA\*. Список реализован с помощью кучи и предоставляет интерфейс для эффективного извлечения лексикографически минимального по  $f$ -значению узла. Другие операции удаления из списка не реализованы, т.к. алгоритм BOA\* не требует таких операций
- Функция `boa` реализует алгоритм BOA\*. Принимает на вход граф `graph` — экземпляр класса `networkx.classes.graph.Graph`, `start` — стартовая вершина, `goal` — целевая вершина, `weights` — пара названий атрибутов ребра, которые используются в качестве весов. Функция возвращает словарь с элементами: `solutions` — множество узлов - экземпляров класса `Node` для целевой вершины `goal`,  $g$ -значения которых образуют парето-оптимальное множество весов кратчайших путей из `start` в `goal` (оптимальные пути восстанавливаются с помощью атрибута `parent` экземпляров `Node`), `n_expansions` — количество совершённых раскрытий вершин при выполнении алгоритма, `runtime` —



время выполнения в секундах, `max_size` максимальный размер списка `OpenBOA`.

## 6 Проверка корректности реализаций NAMOA\* и BOA\*

Корректность реализаций NAMOA\* и BOA\* были проверены дважды:

1. **Проверка на случайном графе из 1000 вершин.** Проверка корректности на случайном графе, который был сгенерирован с помощью библиотеки NetworkX. Параметры графа:
  - Количество вершин — 1000
  - Вероятность создания ребра между вершинами — 0.1
  - Веса рёбер – кортежи из двух элементов — случайные целые числа от 1 до 1000
2. **Проверка на подграфе дорожной сети New York City (DIMACS) из 10000 вершин.**

Результаты подтвердили корректность реализаций алгоритмов BOA\* и NAMOA\*.

## 7 Сравнение производительности реализаций NAMOA\* и BOA\*

Производительность алгоритмов сравнивалась на 100 случайно выбранных парах вершин из графа дорожной сети New York City (DIMACS). Результаты представлены в таблицах 1 и 2.

	Количество раскрытий	Время выполнения, с	Максимальный размер списка OPEN
Min	$4.9 * 10^1$	1.8	$2.8 * 10^1$
Mean	$4.9 * 10^5$	27.9	$2.2 * 10^4$
Max	$8.5 * 10^6$	521.7	$2.4 * 10^5$
Std	$1.3 * 10^6$	78.4	$3.6 * 10^4$

Таблица 1: Производительность реализации BOA\*

	Количество раскрытий	Время выполнения, с	Максимальный размер списка OPEN (без учёта удалённых вершин)	Максимальный размер списка OPEN
Min	$4.9 * 10^1$	1.6	$2.2 * 10^1$	$2.7 * 10^1$
Mean	$4.9 * 10^5$	189.9	$1.3 * 10^4$	$1.9 * 10^4$
Max	$8.5 * 10^6$	4236.6	$1.5 * 10^5$	$2.1 * 10^5$
Std	$1.3 * 10^6$	643.7	$2.3 * 10^4$	$3.2 * 10^4$

Таблица 2: Производительность реализации NAMOA\*

Сравнение производительности реализаций BOA\* и NAMOA\*:

- NAMOA\* и BOA\* делают одинаковое количество раскрытий узлов
- NAMOA\* работает в среднем в 6.8 раз медленнее
- Размер списка OPEN для алгоритма NAMOA\* в среднем в 1.15 раз меньше

## 8 Применение BOA\* для поиска множества оптимальных путей

Рассматривается применение реализации BOA\* к задаче поиска оптимальных путей на примере 8-связной карты duskwood (<https://movingai.com/benchmarks/wc3maps512/index.html>) с двумя критериями: минимизация длины пути и максимизация безопасности пути. Безопасность проходимой клетки определяется как расстояние до ближайшей непроходимой клетки. Безопасность маршрута принимается равной сумме значений метрики безопасности для каждой клетки маршрута.

Особенности реализации:

- Класс `PassableMap` предоставляет интерфейс для поиска парето-оптимального множества путей между парой проходимых клеток по двум критериям: длина пути и безопасность. Параметры конструктора: `symbol_map` — карта символов, по которой будет построен 8-связный граф проходимых клеток (см. формат карты: <https://movingai.com/benchmarks/formats.html>); `passable_symbol` - символ проходимой клетки.
- Метод `passable_coordinates` возвращает список координат всех проходимых клеток
- Метод `danger_score` возвращает словарь, ключом которого является координата проходимой клетки, а значением - величина «опасности» клетки:

$$\forall v \in V \Rightarrow danger(v) = -safety(v) + \max_{v^* \in V} safety(v^*) + 1,$$

где максимум берётся по всем проходимым клеткам графа. С учётом определения и аддитивности метрик *danger* и *safety* по длине пути, максимизация безопасности эквивалентна минимизации опасности. Параметр **normalize** позволяет нормировать метрику опасности на 1.

- Метод **optimal\_routes** принимает на вход начальную вершину **start** и целевую **goal** и возвращает множество путей, оптимальное по длине и опасности, а также веса этих путей в виде словаря с ключами **routes** и **costs**.

На рисунке 5 показана оригинальная карта *duskwood* и визуализация метрики «опасность».

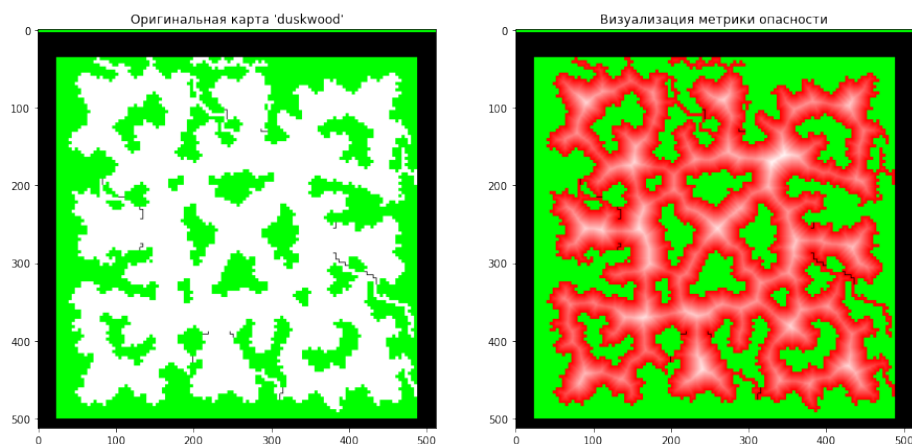


Рис. 5: Визуализация карты *duskwood* (слева) и метрики «опасность» (справа). Чёрные и зелёные клетки не являются проходимыми. Безопасность проходимой клетки принимается равной расстоянию до ближайшей непроходимой клетки. Интенсивностью красного цвета показана опасность клетки.

В качестве примера с помощью алгоритма ВОА\* было построено множество парето-оптимальных маршрутов из клетки (100, 110) в клетку (430, 400). Полученное множество содержит 258 маршрутов и показано на рисунке 6. График стоимости парето-оптимальных маршрутов показан на рисунке 7.

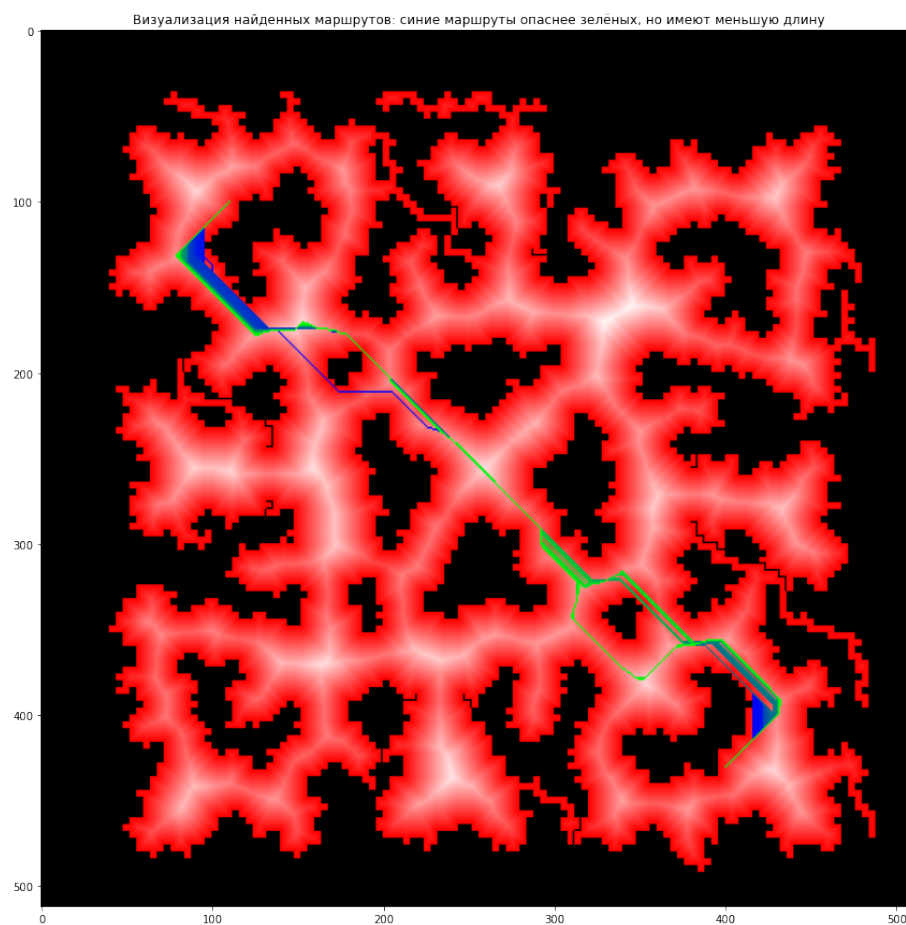


Рис. 6: Визуализация парето-оптимального множества маршрутов из клетки (100, 110) в клетку (430, 400) для карты duskwood. Градацией цвета от зелёного к синему показано увеличение опасности маршрута.

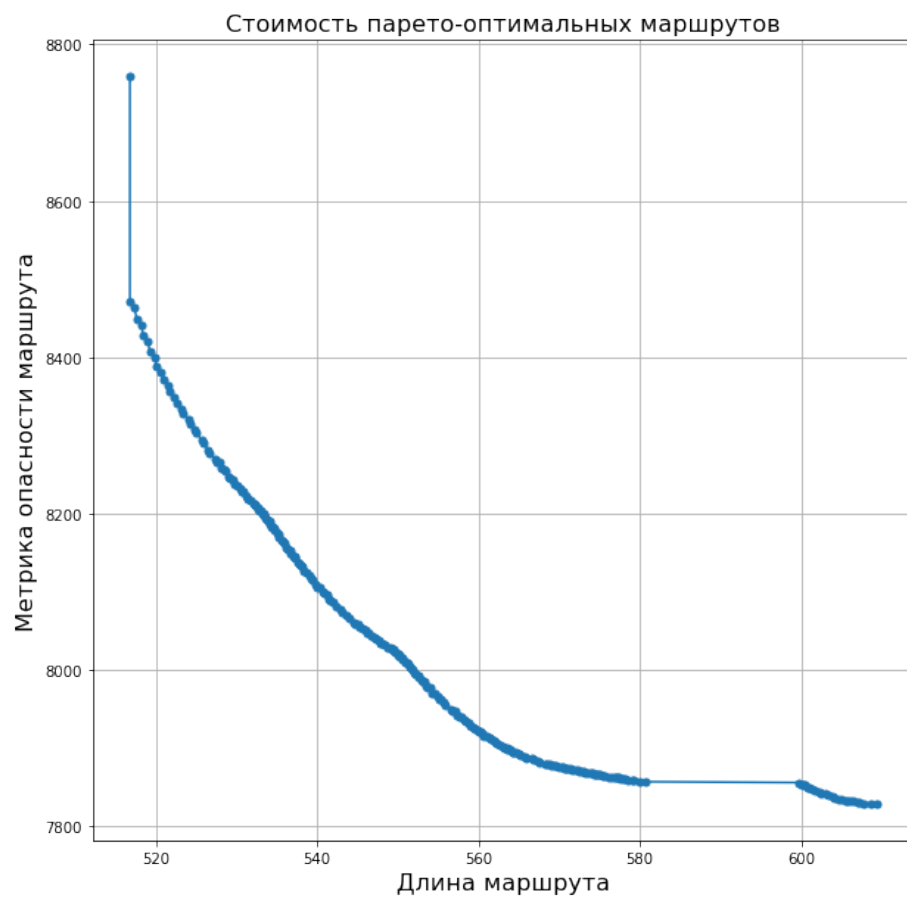


Рис. 7: График стоимости парето-оптимальных маршрутов из клетки (100, 110) в клетку (430, 400) для карты duskwood.

## Список литературы

- [1] Carlos Hernández Ulloa и др. «A Simple and Fast Bi-Objective Search Algorithm». в: *Proceedings of the International Conference on Automated Planning and Scheduling* 30.1 (июнь 2020), с. 143—151. URL: <https://ojs.aaai.org/index.php/ICAPS/article/view/6655>.